

Paris, 4/11/2016

# L(OW) M(ACH) N(UCLEAR) C(ORE) MODELS

CONSTRUCTION, ÉTUDE ET DISCRÉTISATION 1D/2D/3D DE MODÈLES  
ASYMPTOTIQUES BAS MACH DÉDIÉS À LA THERMOHYDRAULIQUE

Yohan PENEL<sup>1</sup>

Stéphane DELLACHERIE<sup>2</sup> Gloria FACCANONI<sup>3</sup> Bérénice GREC<sup>4</sup>

<sup>1</sup>Équipe ANGE (CEREMA-UPMC-CNRS-INRIA)

<sup>2</sup>DEN/DANS/DM2S/STMF – CEA Saclay & École Polytechnique de Montréal

<sup>3</sup>IMATH – Université de Toulon

<sup>4</sup>MAP5 – Université Paris Descartes

# OUTLINE

---

- 1 Contexte générale de l'étude
- 2 Le modèle LMNC - EDP
- 3 Fermeture thermodynamique
- 4 1D - solutions analytiques
- 5 Schémas numériques 1D/2D/3D
- 6 Travaux en cours et Perspectives

# PARTICIPANTS

---

- Collaborations

- A. BIDAUD (IN2P3)
- C. GALUSINSKI (Université de Toulon)
- J. JUNG (Université de Pau et des Pays de l'Adour)
- O. LAFITTE (CEA Saclay & Université Paris 13)
- A. MEKKAS (CEA Saclay)
- P. RUBIOLLO (IN2P3)

- Stages

- E. NAYIR 2013
- A. OLIARI NEGRIS 2014
- J.-M. MAURIZI 2016
- T. LAN 2016

- CEMRACS

- 2011 BASMAC
- 2015 DIPLOMA

## Section 1

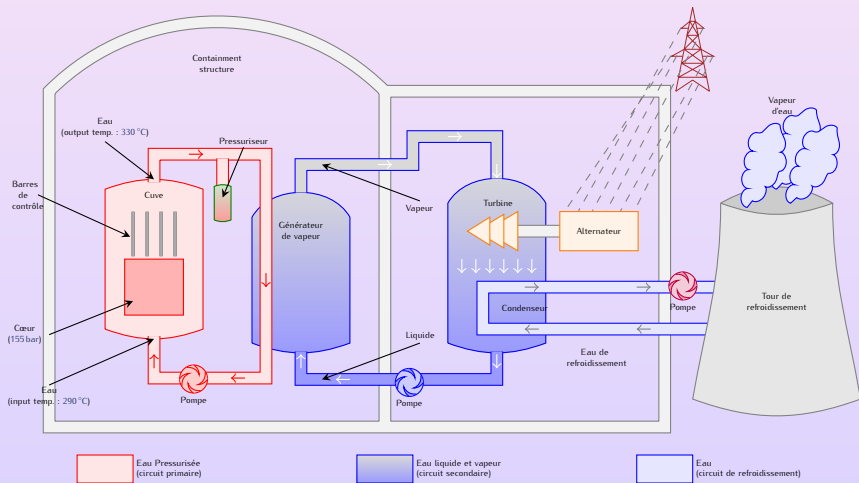
# CONTEXTE GÉNÉRALE DE L'ÉTUDE

## CADRE

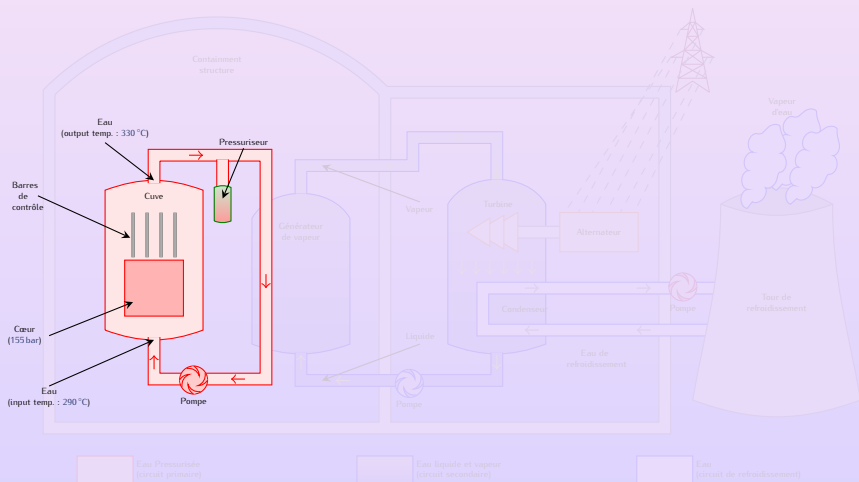
**Modélisation et simulation numérique** des transferts de chaleur dans un cœur (ou un générateur de vapeur) de réacteurs nucléaires à caloporteur eau (ou sodium ou sel fondu), lorsque le régime de convection est à **bas nombre de Mach**, avec ou sans changement de phase.



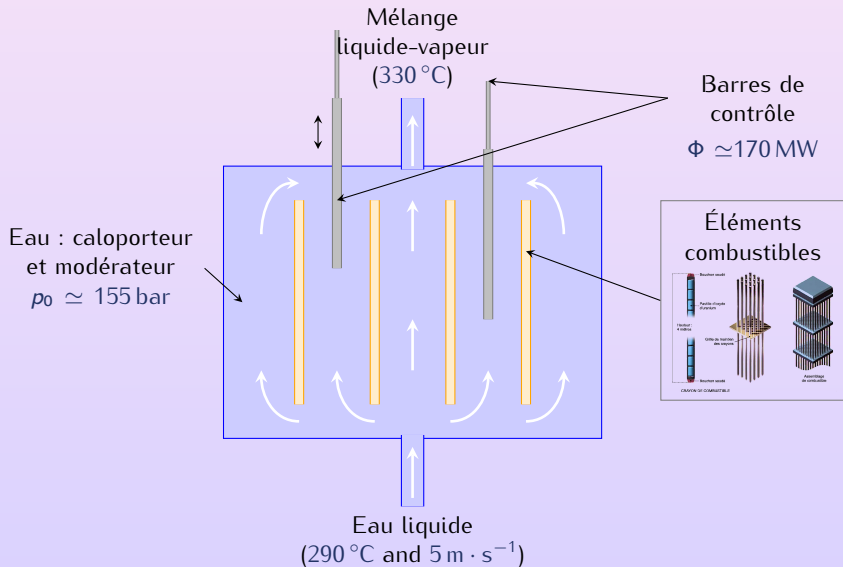
# RÉACTEUR À EAU PRESSURISÉE



# RÉACTEUR À EAU PRESSURISÉE



# CŒUR D'UN RÉACTEUR À EAU PRESSURISÉE





# CŒUR D'UN REP

## Régime nominal

- Vitesse d'entrée :  $|u| \simeq 5 \text{ m} \cdot \text{s}^{-1}$
- Vitesse du son à  $p_0 = 155 \text{ bar}$  et  $T = 300 \text{ }^\circ\text{C}$  :  $c_\ell^* \simeq 1.0 \times 10^3 \text{ m} \cdot \text{s}^{-1}$
- **Nombre de Mach faible** :  $M = \frac{|u|}{c_\ell^*} \simeq 5 \times 10^{-3} \ll 1$
- **Transferts thermiques importants** :  $\text{div } u \neq 0$

C'est aussi le cas

- pour les régimes incidentels
- pour certains scénarios accidentels comme le LOFA (Loss of Flow Accident)<sup>1</sup> *même avec changement de phase*

Les phénomènes acoustiques sont négligeable (pas d'ondes de choc) MAIS les transferts thermiques sont importants

1. Sauf pour une dépressurisation très rapide comme le LOCA (Loss of Coolant Accident)

# CŒUR D'UN REP

## Régime nominal

- Vitesse d'entrée :  $|u| \simeq 5 \text{ m} \cdot \text{s}^{-1}$
- Vitesse du son à  $p_0 = 155 \text{ bar}$  et  $T = 300 \text{ }^\circ\text{C}$  :  $c_\ell^* \simeq 1.0 \times 10^3 \text{ m} \cdot \text{s}^{-1}$
- **Nombre de Mach faible** :  $M = \frac{|u|}{c_\ell^*} \simeq 5 \times 10^{-3} \ll 1$
- **Transferts thermiques importants** :  $\text{div } u \neq 0$

C'est aussi le cas

- pour les régimes incidentels
- pour certains scénarios accidentels comme le LOFA (Loss of Flow Accident)<sup>1</sup> *même avec changement de phase*

Les phénomènes acoustiques sont négligeable (pas d'ondes de choc) MAIS les transferts thermiques sont importants

1. Sauf pour une dépressurisation très rapide comme le LOCA (Loss of Coolant Accident)

## APPROCHE CLASSIQUE

Les codes industriels de thermohydraulique système (e.g. Cathare, Flica4 et Relap) utilisent des **modèles compressibles** de type Navier-Stokes dans lesquelles les **ondes acoustiques** sont prises en compte.

- en théorie, ils sont adaptés à **tout nombre de Mach**
- en pratique, la prise en compte de l'acoustique à bas nombre de Mach dans un code compressible a un **coût important** en terme de **temps CPU**, de **robustesse** et/ou de **précision** selon le schéma compressible utilisé

### Constat :

si l'écoulement est à bas nombre de Mach, l'acoustique peut être négligée.

## APPROCHE CLASSIQUE

Les codes industriels de thermohydraulique système (e.g. Cathare, Flica4 et Relap) utilisent des **modèles compressibles** de type Navier-Stokes dans lesquelles les **ondes acoustiques** sont prises en compte.

- en théorie, ils sont adaptés à **tout nombre de Mach**
- en pratique, la prise en compte de l'acoustique à bas nombre de Mach dans un code compressible a un **coût important** en terme de **temps CPU**, de **robustesse** et/ou de **précision** selon le schéma compressible utilisé

### Constat :

si l'écoulement est à bas nombre de Mach, l'acoustique peut être négligée.

## APPROCHE CLASSIQUE

Les codes industriels de thermohydraulique système (e.g. Cathare, Flica4 et Relap) utilisent des **modèles compressibles** de type Navier-Stokes dans lesquelles les **ondes acoustiques** sont prises en compte.

- en théorie, ils sont adaptés à **tout nombre de Mach**
- en pratique, la prise en compte de l'acoustique à bas nombre de Mach dans un code compressible a un **coût important** en terme de **temps CPU**, de **robustesse** et/ou de **précision** selon le schéma compressible utilisé

### Constat :

si l'écoulement est à bas nombre de Mach, l'acoustique peut être négligée.

## APPROCHE CLASSIQUE

Les codes industriels de thermohydraulique système (e.g. Cathare, Flica4 et Relap) utilisent des **modèles compressibles** de type Navier-Stokes dans lesquelles les **ondes acoustiques** sont prises en compte.

- en théorie, ils sont adaptés à **tout nombre de Mach**
- en pratique, la prise en compte de l'acoustique à bas nombre de Mach dans un code compressible a un **coût important** en terme de **temps CPU**, de **robustesse** et/ou de **précision** selon le schéma compressible utilisé

Constat :

si l'écoulement est à bas nombre de Mach, l'acoustique peut être négligée.

# APPROCHE BAS MACH

Lorsque l'écoulement est en régime bas Mach, on se propose de

- **construire des modèles** via des développements asymptotiques bas Mach appliqués à des modèles compressibles de type Navier-Stokes,
- **étudier** les modèles ainsi proposés
  - **mathématiquement** (solutions analytiques, propriétés de positivité, etc.)
  - **numériquement** (construction de schémas préservant ces propriétés)

## Intérêts de l'approche bas Mach

Approche complémentaire des études basés sur des **modélisations compressibles** :

- Nouvelles informations (théoriques et numériques) utiles pour comprendre la thermohydraulique en régime bas Mach
- Aide à la validation des codes industriels compressibles dans le régime bas Mach

# APPROCHE BAS MACH

Lorsque l'écoulement est en régime bas Mach, on se propose de

- **construire des modèles** via des développements asymptotiques bas Mach appliqués à des modèles compressibles de type Navier-Stokes,
- **étudier** les modèles ainsi proposés
  - **mathématiquement** (solutions analytiques, propriétés de positivité, etc.)
  - **numériquement** (construction de schémas préservant ces propriétés)

## Intérêts de l'approche bas Mach

**Approche complémentaire** des études basés sur des **modélisations compressibles** :

- 1 Nouvelles informations (théoriques et numériques) utiles pour comprendre la thermohydraulique en régime bas Mach
- 2 Aide à la validation des codes industriels compressibles dans le régime bas Mach



## Section 2

# LE MODÈLE LMNC - EDP

# MODÈLE LMNC

- L'approche bas Mach a d'abord été appliquée au cas **monophasique**, le modèle bas Mach proposé étant nommé  
**Low Mach Nuclear Core (LMNC) model**

⇒ S. DELLACHERIE. *On a low Mach nuclear core model. ESAIM Proc.*, 2012. Article issu du congrès SMAI-2011

- Le modèle LMNC a été enrichi avec un modèle de **changement de phase** avec des lois de type Noble-Abel-Stiffened-Gas (NASG) pour chaque phase pure.
- Des **solutions analytiques 1D** instationnaires et stationnaires ont été établies avec ou sans changement de phase.

⇒ M. BERNARD, S. DELLACHERIE, G. FACCANONI, B. GREC, O. LAFITTE, T.-T. NGUYEN and Y. PENEL. *Study of a low Mach nuclear core model for single-phase flow. ESAIM Proc.*, 2012. Article issu du projet BASMAC au CEMRACS-2011.

⇒ M. BERNARD, S. DELLACHERIE, G. FACCANONI, B. GREC and Y. PENEL. *Study of a low Mach nuclear core model for two-phase flows with phase transition I : stiffened gas law. ESAIM : Mathematical Modelling and Numerical Analysis*, 2014

# MODÈLE LMNC

- L'approche bas Mach a d'abord été appliquée au cas **monophasique**, le modèle bas Mach proposé étant nommé

**Low Mach Nuclear Core (LMNC) model**

⇒ S. DELLACHERIE. *On a low Mach nuclear core model. ESAIM Proc.*, 2012. Article issu du congrès SMAI-2011

- Le modèle LMNC a été enrichi avec un modèle de **changement de phase** avec des lois de type Noble-Abel-Stiffened-Gas (NASG) pour chaque phase pure.
- Des **solutions analytiques 1D** instationnaires et stationnaires ont été établies avec ou sans changement de phase.

⇒ M. BERNARD, S. DELLACHERIE, G. FACCANONI, B. GREC, O. LAFITTE, T.-T. NGUYEN and Y. PENEL. *Study of a low Mach nuclear core model for single-phase flow. ESAIM Proc.*, 2012. Article issu du projet BASMAC au CEMRACS-2011.

⇒ M. BERNARD, S. DELLACHERIE, G. FACCANONI, B. GREC and Y. PENEL. *Study of a low Mach nuclear core model for two-phase flows with phase transition I : stiffened gas law. ESAIM : Mathematical Modelling and Numerical Analysis*, 2014

# MODÈLE LMNC

- L'approche bas Mach a d'abord été appliquée au cas **monophasique**, le modèle bas Mach proposé étant nommé

**Low Mach Nuclear Core (LMNC) model**

⇒ S. DELLACHERIE. *On a low Mach nuclear core model. ESAIM Proc.*, 2012. Article issu du congrès SMAI-2011

- Le modèle LMNC a été enrichi avec un modèle de **changement de phase** avec des lois de type Noble-Abel-Stiffened-Gas (NASG) pour chaque phase pure.
- Des **solutions analytiques 1D** instationnaires et stationnaires ont été établies avec ou sans changement de phase.

⇒ M. BERNARD, S. DELLACHERIE, G. FACCANONI, B. GREC, O. LAFITTE, T.-T. NGUYEN and Y. PENEL. *Study of a low Mach nuclear core model for single-phase flow. ESAIM Proc.*, 2012. Article issu du projet BASMAC au CEMRACS-2011.

⇒ M. BERNARD, S. DELLACHERIE, G. FACCANONI, B. GREC and Y. PENEL. *Study of a low Mach nuclear core model for two-phase flows with phase transition I : stiffened gas law. ESAIM : Mathematical Modelling and Numerical Analysis*, 2014

# LE MODÈLE À BAS NOMBRE DE MACH

$$p(t, x) = p_0(t) + \bar{p}(t, x) \text{ avec } \frac{\bar{p}(t, x)}{p_0(t)} = \mathcal{O}(M^2)$$

$$\begin{cases} \operatorname{div}(\mathbf{u}) = -\frac{p_0'(t)}{\varrho(h, p_0)(c^*(h, p_0))^2} + \frac{\beta(h, p_0)}{p_0(t)} [\Phi + \operatorname{div}(\lambda \cdot \nabla T(h, p_0))] \\ \varrho(h, p_0) (\partial_t h + \mathbf{u} \cdot \nabla h) = \Phi + p_0'(t) + \operatorname{div}(\lambda \cdot \nabla T(h, p_0)) \\ \varrho(h, p_0) (\partial_t \mathbf{u} + (\mathbf{u} \cdot \nabla) \mathbf{u}) + \nabla \bar{p} = \operatorname{div}(\sigma(\mathbf{u})) + \varrho(h, p_0) \mathbf{g} \end{cases}$$

- ▶ Inconnues
- ▶ Quantités connues
- ▶ Fermetures :

# LE MODÈLE À BAS NOMBRE DE MACH

$$p(t, x) = p_0(t) + \bar{p}(t, x) \text{ avec } \frac{\bar{p}(t, x)}{p_0(t)} = \mathcal{O}(M^2)$$

$$\begin{cases} \operatorname{div}(u) = -\frac{p'_0(t)}{\varrho(h, p_0)(c^*(h, p_0))^2} + \frac{\beta(h, p_0)}{p_0(t)} [\Phi + \operatorname{div}(\lambda \cdot \nabla T(h, p_0))] \\ \varrho(h, p_0) (\partial_t h + u \cdot \nabla h) = \Phi + p'_0(t) + \operatorname{div}(\lambda \cdot \nabla T(h, p_0)) \\ \varrho(h, p_0) (\partial_t u + (u \cdot \nabla)u) + \nabla \bar{p} = \operatorname{div}(\sigma(u)) + \varrho(h, p_0)g \end{cases}$$

## ▼ Inconnues

- $(t, x) \mapsto u$  vitesse
- $(t, x) \mapsto h$  enthalpie
- $(t, x) \mapsto \bar{p}$  pression dynamique

## ▶ Quantités connues

## ▶ Fermetures :

# LE MODÈLE À BAS NOMBRE DE MACH

$$p(t, x) = p_0(t) + \bar{p}(t, x) \text{ avec } \frac{\bar{p}(t, x)}{p_0(t)} = \mathcal{O}(M^2)$$

$$\begin{cases} \operatorname{div}(u) = -\frac{p_0'(t)}{\varrho(h, p_0)(c^*(h, p_0))^2} + \frac{\beta(h, p_0)}{p_0(t)} [\Phi + \operatorname{div}(\lambda \cdot \nabla T(h, p_0))] \\ \varrho(h, p_0) (\partial_t h + u \cdot \nabla h) = \Phi + p_0'(t) + \operatorname{div}(\lambda \cdot \nabla T(h, p_0)) \\ \varrho(h, p_0) (\partial_t u + (u \cdot \nabla)u) + \nabla \bar{p} = \operatorname{div}(\sigma(u)) + \varrho(h, p_0)g \end{cases}$$

## ► Inconnues

## ▼ Quantités connues

- $(t, x) \mapsto \Phi \geq 0$  densité de puissance
- $g$  gravité
- $t \mapsto p_0$  pressions thermodynamique

## ► Fermetures :

# LE MODÈLE À BAS NOMBRE DE MACH

$$p(t, x) = p_0(t) + \bar{p}(t, x) \text{ avec } \frac{\bar{p}(t, x)}{p(t, x)} = \mathcal{O}(M^2)$$

$$\begin{cases} \operatorname{div}(\mathbf{u}) = -\frac{p'_0(t)}{\varrho(h, p_0)(c^*(h, p_0))^2} + \frac{\beta(h, p_0)}{p_0(t)} [\Phi + \operatorname{div}(\lambda \cdot \nabla T(h, p_0))] \\ \varrho(h, p_0) (\partial_t h + \mathbf{u} \cdot \nabla h) = \Phi + p'_0(t) + \operatorname{div}(\lambda \cdot \nabla T(h, p_0)) \\ \varrho(h, p_0) (\partial_t \mathbf{u} + (\mathbf{u} \cdot \nabla) \mathbf{u}) + \nabla \bar{p} = \operatorname{div}(\sigma(\mathbf{u})) + \varrho(h, p_0) \mathbf{g} \end{cases}$$

► Inconnues

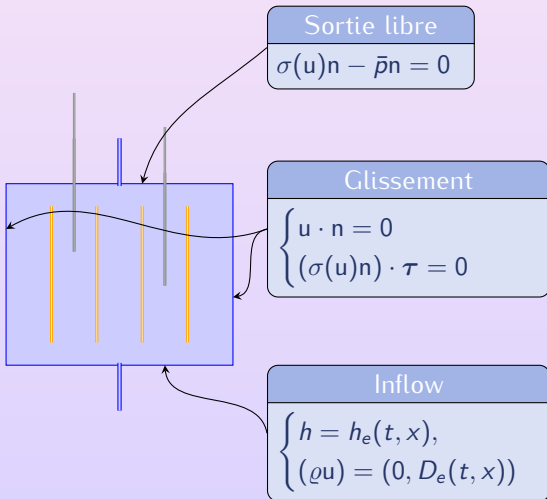
► Quantités connues

▼ Fermetures :  $(h, p_0) \mapsto (\varrho, \lambda)$  densité, conductivité thermique,

$$\Rightarrow \begin{cases} (h, p_0) \mapsto \beta \stackrel{\text{def}}{=} -\frac{p_0}{\varrho^2(h, p_0)} \left. \frac{\partial \varrho}{\partial h} \right|_{p_0} & \text{coefficient de compressibilité} \\ (h, p_0) \mapsto T & \text{température} \\ (h, p_0) \mapsto c^* & \text{vitesse du son} \end{cases}$$



# CONDITIONS AUX BORDS



## Section 3

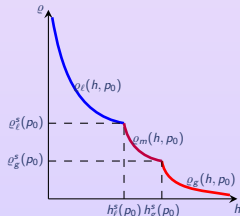
# FERMETURE THERMODYNAMIQUE

# LOI D'ÉTAT "PAR MORCEAUX"

- Le liquide  $\kappa = \ell$  et sa vapeur  $\kappa = g$  sont caractérisés par leurs propres propriétés thermodynamiques :  $(h, p_0) \mapsto \varrho_\kappa$
- Dans le mélange, on suppose que les deux phases sont à saturation :  $T = T^s(p_0)$  et on définit

$$h_\kappa^s(p_0) \stackrel{\text{def}}{=} h_\kappa(p_0, T^s(p_0)), \quad \varrho_\kappa^s(p_0) \stackrel{\text{def}}{=} \varrho_\kappa(p_0, T^s(p_0)) = \varrho_\kappa(h_\kappa^s, p_0).$$

$$\varrho(h, p_0) = \begin{cases} \varrho_\ell(h, p_0), & \text{si } h \leq h_\ell^s(p_0), \\ \varrho_m(h, p_0), & \text{si } h_\ell^s(p_0) < h < h_g^s(p_0), \\ \varrho_g(h, p_0), & \text{si } h \geq h_g^s(p_0), \end{cases}$$



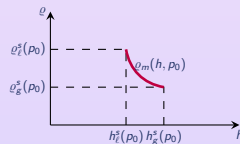
# LOI D'ÉTAT DANS LE MÉLANGE LIQUIDE-VAPEUR

$$\begin{cases} \varrho = \alpha \varrho_g^s(p_0) + (1 - \alpha) \varrho_\ell^s(p_0) \\ \varrho h = \alpha \varrho_g^s(p_0) h_g^s(p_0) + (1 - \alpha) \varrho_\ell^s(p_0) h_\ell^s(p_0) \end{cases}$$

pour  $h \in [h_\ell^s(p_0); h_g^s(p_0)]$

⇓

$$\varrho_m(h, p_0) = \frac{p_0 / \beta_m(p_0)}{h - q_m(p_0)}$$



où

$$\beta_m(p_0) \stackrel{\text{def}}{=} p_0 \frac{\frac{1}{\varrho_g^s} - \frac{1}{\varrho_\ell^s}}{h_g^s - h_\ell^s} = - \frac{p_0}{\varrho_m(h, p_0)} \left. \frac{\partial \varrho_m}{\partial h} \right|_{p_0}$$

$$q_m(p_0) \stackrel{\text{def}}{=} \frac{\varrho_g^s h_g^s - \varrho_\ell^s h_\ell^s}{\varrho_g^s - \varrho_\ell^s}$$

# LOIS D'ÉTAT POUR LES PHASES PURES

- Loi Analytique :

$$(h, p_0) \mapsto \varrho \implies \begin{cases} (h, p_0) \mapsto \beta \stackrel{\text{def}}{=} - \frac{p_0}{\varrho^2(h, p_0)} \left. \frac{\partial \varrho}{\partial h} \right|_{p_0} \\ (h, p_0) \mapsto T \\ (h, p_0) \mapsto c^* \end{cases}$$

- Noble Abel Stiffened Gas  $\varrho_\kappa(h, p_0) = \frac{p_0 / \beta_\kappa}{h - \hat{q}_\kappa}$
  - Van der Waals  $h(\varrho, p_0)$
  - etc.
- Utilisation de données expérimentales :
    - régressions polynomiales pour chaque  $\varrho, T, c^*, 1/c_P$ , etc.
    - construction par différences finies pour  $\beta_\kappa$

## Section 4

# 1D - SOLUTIONS ANALYTIQUES

# LE MODÈLE 1D SIMPLIFIÉ

$$p_0(t) = 155 \text{ bar } \forall t$$

$$\lambda = 0 \text{ W} \cdot \text{m}^{-1} \cdot \text{K}^{-1}$$

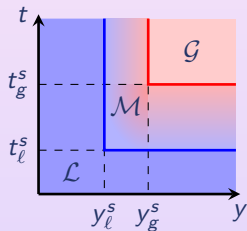
1D

$$\begin{cases} \partial_y v = \frac{\beta(h)}{p_0} \Phi \\ \partial_t h + v \partial_y h = \frac{\Phi}{\rho(h)} \\ \partial_t (\rho(h)v) + \partial_y (\rho v^2 + \bar{p}) - \partial_y (\mu \partial_y v) = -g \rho(h) \end{cases}$$

- Solution asymptotique pour toute loi d'état
- Solution en transitoire sans ou avec changement de phase lorsqu'on considère une loi d'état NASG

# NASG AVEC CHANGEMENT DE PHASE

$\Phi$ ,  $v_e$ ,  $h_e$ ,  $h_0$  : constants ; IC et BC : phase liquide.



$$y_l^s = \frac{D_e}{\Phi} (h_l^s - h_e)$$

$$y_g^s = \frac{D_e}{\Phi} (h_g^s - h_e)$$

$$t_l^s = \frac{1}{\hat{\Phi}_\ell} \ln \left( \frac{h_\ell^s - \hat{q}_\ell}{h_0 - \hat{q}_\ell} \right)$$

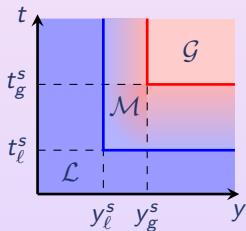
$$t_g^s = t_l^s + \frac{1}{\hat{\Phi}_m} \ln \left( \frac{h_g^s - \hat{q}_m}{h_\ell^s - \hat{q}_m} \right)$$

- ▶ Vitesse
- ▶ Enthalpie



# NASG AVEC CHANGEMENT DE PHASE

$\Phi$ ,  $v_e$ ,  $h_e$ ,  $h_0$  : constants ; IC et BC : phase liquide.



$$y_l^s = \frac{D_e}{\Phi} (h_l^s - h_e)$$

$$y_g^s = \frac{D_e}{\Phi} (h_g^s - h_e)$$

$$t_l^s = \frac{1}{\hat{\Phi}_l} \ln \left( \frac{h_l^s - \hat{q}_l}{h_0 - \hat{q}_l} \right)$$

$$t_g^s = t_l^s + \frac{1}{\hat{\Phi}_m} \ln \left( \frac{h_g^s - \hat{q}_m}{h_l^s - \hat{q}_m} \right)$$

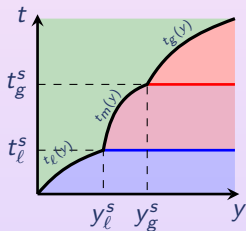
## ▼ Vitesse

$$v(t, y) = \begin{cases} v_e + y \hat{\Phi}_l & \text{si } (t, y) \in \mathcal{L}, \\ v_e + y_l^s \hat{\Phi}_l + (y - y_l^s) \hat{\Phi}_m & \text{si } (t, y) \in \mathcal{M}, \\ v_e + y_l^s \hat{\Phi}_l + (y_g^s - y_l^s) \hat{\Phi}_m + (y - y_g^s) \hat{\Phi}_g & \text{si } (t, y) \in \mathcal{G}, \end{cases}$$

## ► Enthalpie

# NASG AVEC CHANGEMENT DE PHASE

$\Phi$ ,  $v_e$ ,  $h_e$ ,  $h_0$  : constants ; IC et BC : phase liquide.



$$y_l^s = \frac{D_e}{\Phi} (h_l^s - h_e)$$

$$y_g^s = \frac{D_e}{\Phi} (h_g^s - h_e)$$

$$t_l^s = \frac{1}{\hat{\Phi}_l} \ln \left( \frac{h_l^s - \hat{q}_l}{h_0 - \hat{q}_l} \right)$$

$$t_g^s = t_l^s + \frac{1}{\hat{\Phi}_m} \ln \left( \frac{h_g^s - \hat{q}_m}{h_l^s - \hat{q}_m} \right)$$

► Vitesse

▼ Enthalpie :

$$h(t, y) = \begin{cases} q_l + (h_0 - \hat{q}_l) e^{\hat{\Phi}_l t} & \text{si } (t, y) \in \mathcal{L} \text{ et } t < t_l(y), \\ q_m + (h_l^s - \hat{q}_m) e^{\hat{\Phi}_m (t - t_l^s)} & \text{si } (t, y) \in \mathcal{M} \text{ et } t < t_m(y), \\ q_g + (h_g^s - \hat{q}_g) e^{\hat{\Phi}_g (t - t_g^s)} & \text{si } (t, y) \in \mathcal{G} \text{ et } t < t_g(y), \\ h_e + \frac{\Phi}{D_e} y & \text{sinon.} \end{cases}$$

## Section 5

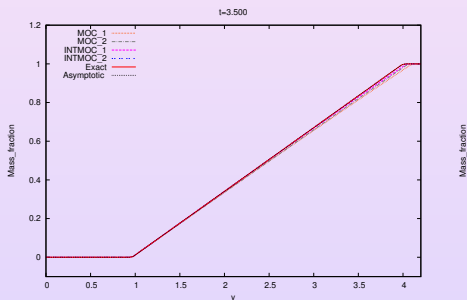
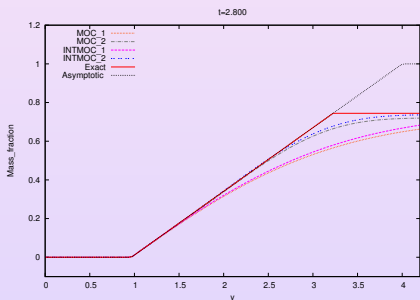
# SCHÉMAS NUMÉRIQUES 1D/2D/3D

# SCHÉMAS NUMÉRIQUES

Ont été proposés et validés à l'aide des solutions analytiques...

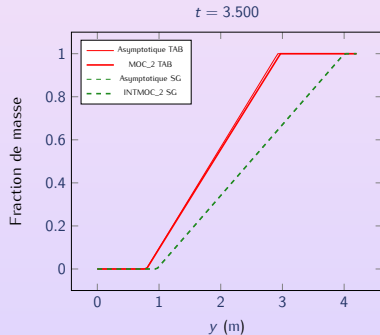
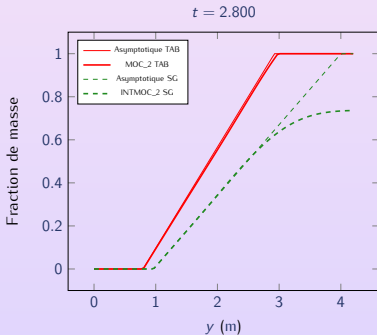
- 1D** des schémas explicites, inconditionnellement stables et précis (ordre 3) basés sur une méthode des caractéristiques (sans conductivité thermique)
- 2D/3D** des schémas de type éléments finis couplés à une méthode des caractéristiques avec FreeFem++ (sans ou avec conductivité thermique)
- 3D** un schéma de type volumes finis sur grille MAC avec une méthode de prédiction-corrrection en pression (sans conductivité thermique)

# SG : MOC (ORDRE 1 OU 2) VS INTMOC (ORDRE 1 OU 2)

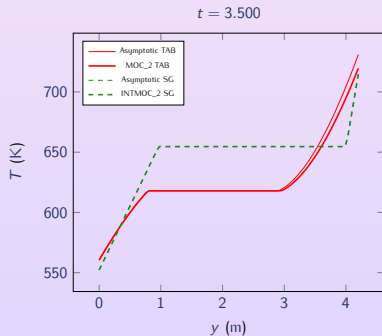
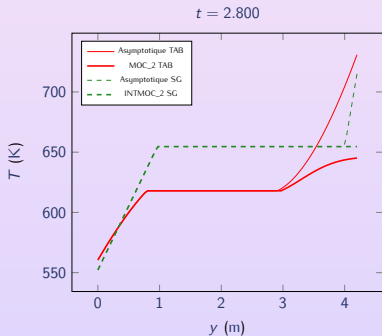


- Le domaine est initialement rempli par de l'eau à l'état liquide
- À  $t = 1.769$  s apparition du mélange pour  $y > y_\ell^s \simeq 0.964$  m
- À  $t = 2.929$  s apparition de la vapeur pour  $y > y_g^s \simeq 4.002$  m
- L'état asymptotique est atteint à  $t = 2.957$  s

## SG (INTMOC 2) vs TAB (MOC 2)

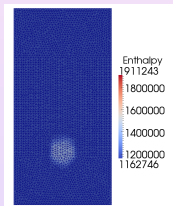


# SG (INTMOC 2) vs TAB (MOC 2)

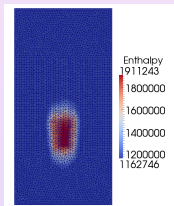


# (Non) INFLUENCE DE LA DIFFUSION THERMIQUE

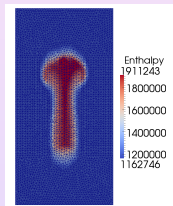
Enthalpie avec diffusion thermique :



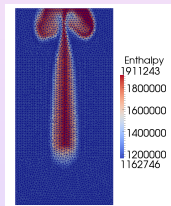
$t = 0.05 \text{ s}$



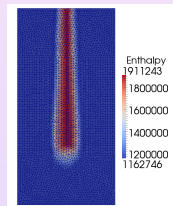
$t = 0.20 \text{ s}$



$t = 0.40 \text{ s}$

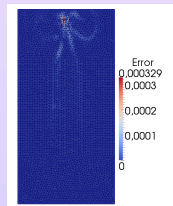


$t = 0.60 \text{ s}$



$t = 0.80 \text{ s}$

Enthalpie (avec - sans) diffusion thermique :

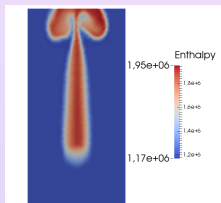


$t = 0.60 \text{ s}$

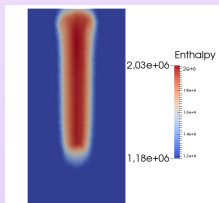


# INFLUENCE DE LA GRAVITÉ

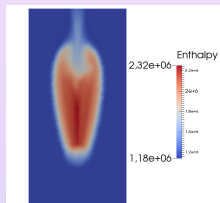
Enthalpie à  $t = 0.60$  s :



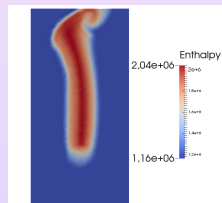
$g \downarrow$



$g = 0$



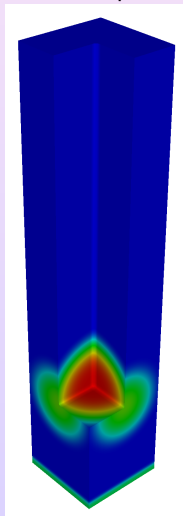
$g \uparrow$



$g \rightarrow$

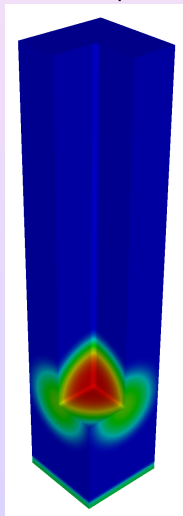
# 3D

## Enthalpie



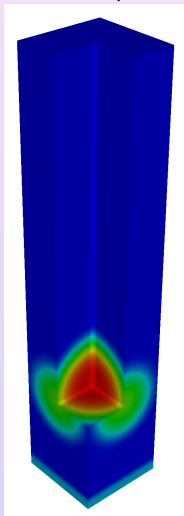
# 3D

## Enthalpie



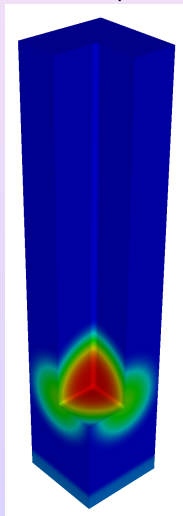
# 3D

## Enthalpie



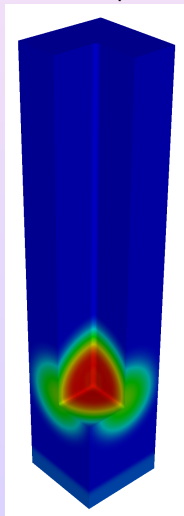
# 3D

## Enthalpie



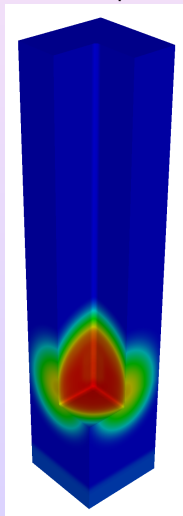
# 3D

## Enthalpie



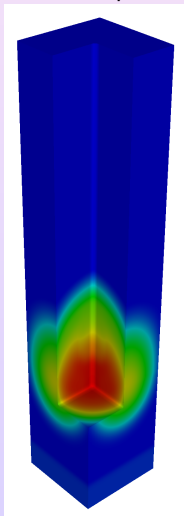
# 3D

## Enthalpie



# 3D

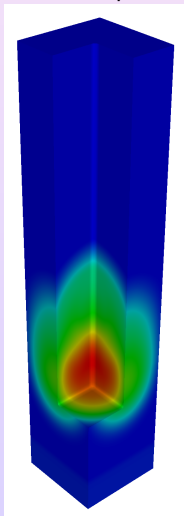
## Enthalpie





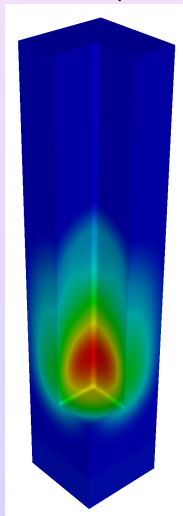
# 3D

## Enthalpie



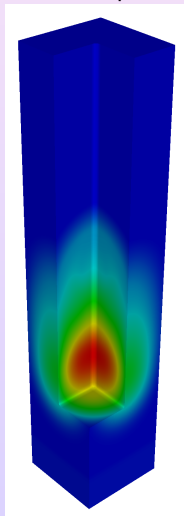
# 3D

## Enthalpie



# 3D

## Enthalpie



## Section 6

# TRAVAUX EN COURS ET PERSPECTIVES

- AXE ① Thermodynamique et équations d'état
- AXE ② Enrichissement de la modélisation
- AXE ③ Couplage avec la neutronique
- AXE ④ Construction et analyse de schémas numériques

# AXE ① THERMODYNAMIQUE ET ÉQUATIONS D'ÉTAT

Appliquer les deux approches à d'**autres fluides caloporteurs** en fonction des données expérimentales disponibles (*e.g.* sodium, sel fondu, eau supercritique) :

- *caler* les paramètres d'une EOS de type **NASG**
- *construire* (trouver ?) une EOS analytique où  $c_p$  est une fonction affine de  $T$  (à pression constante)
- utiliser directement les données expérimentales en s'appuyant sur des **régressions polynomiales** à pression constante
- utiliser directement les données expérimentales en s'appuyant sur la **transformée de Legendre** (enveloppe concave) à pression constante

## AXE ② ENRICHISSEMENT DE LA MODÉLISATION

- Généraliser le modèle au cas où la **pression thermodynamique dépend du temps**.
- Construire et étudier une **hiérarchie de modèles** bas Mach dits modèles ***n*-LMNC**, limites bas Mach de modèles compressibles à  $n$  équations :
  - 4-LMNC : limite bas Mach du modèle HRM à 4 équations utilisé dans Flica4,
  - 5-LMNC : limite bas Mach du modèle à 5 équations utilisé dans le code Triton,
  - 6-LMNC : limite bas Mach du modèle isobare à 6 équations utilisé dans Cathare et Flica4,
  - 7-LMNC : limite bas Mach du modèle de Baer-Nunziato à 7 équations.

## AXE ③ COUPLAGE AVEC LA NEUTRONIQUE

- *via* la densité de puissance  $\Phi$ , qui devient fonction de l'enthalpie  $h$  via une section efficace  $\Sigma_f$  :

$$\Phi \rightsquigarrow \mathbb{E}\Sigma_f(h)\phi(t, x),$$

où  $\phi$  est le flux de neutrons qui vérifie

$$\begin{cases} \frac{1}{V}\partial_t\phi - \operatorname{div}(D(h)\nabla h) + (\Sigma_a(h) - \nu\Sigma_f(h)(1-r))\phi - \lambda c = 0 \\ \partial_t c + \lambda c - \nu\Sigma_f(h)r\phi = 0, \end{cases}$$

et  $c$  est le flux de neutrons retardés.

- Autre formulation (point de vue du neutronicien) : lorsque l'enthalpie de sortie est connue, on ajoute un coefficient  $k_{eff}$  multiplicateur dans l'équation, qui est à déterminer.
- Analyse en 1D stationnaire

☞ S. DELLACHERIE and O. LAFITTE. *Une solution explicite monodimensionnelle d'un modèle simplifié de couplage stationnaire thermohydraulique-neutronique*. À paraître dans Annales mathématiques du Québec.

# AXE ④. CONSTRUCTION ET ANALYSE DE SCHÉMAS NUMÉRIQUE

## Amélioration des performances des schémas pour le modèle LMNC

- Étude (en 1D) de la préservation de la positivité de la température quelle que soit la loi d'état
- Prise en compte de la conduction thermique (en 1D) : comparaison avec des solutions analytiques (NASG) et convergence vers des solutions faibles
- Étude du caractère bien posé de la formulation faible du modèle linéarisé (en 2D)
- Préservation de la masse
- Analyse des temps de calcul pour les différents schémas (3D)

## Modélisation à plus grande échelle

- Couplage d'un modèle compressible avec un modèle bas Mach

⇒ B. DESPRÉS, Y. PENEL and S. DELLACHERIE. *Coupling strategies for compressible – low Mach number flows*. ESAIM : Math. Models and Methods in Appl. Sci., 2015

- Analyse numérique pour le couplage avec la neutronique : résolution d'un problème aux valeurs propres en 1D stationnaire